

# Valutazione prestazioni in comunicazioni PASS

Federico Forzano

15 settembre 2021

## 1 Prestazioni Photon Added Coherent States

### 1.1 Riproduzione dei risultati

Il primo obiettivo ottenuto è stato riprodurre i risultati riguardanti le prestazioni di un sistema PACS.

A partire dalla rappresentazione nella base di Fock, dello stato noisy PACS  $\Xi(\mu, k)$  (con  $\mu$  ampiezza dello stato coerente di partenza e  $k$  numero di fotoni aggiunti):

$$\langle n | \Xi(\mu, k) | m \rangle = \begin{cases} c_{n,m}^{(k)} & \text{se } n, m \geq 0 \\ 0 & \text{altrimenti} \end{cases} \quad (1)$$

con

$$c_{n,m}^{(k)} = \frac{(1-v)^{k+1} e^{-(1-v)|\mu|^2}}{v^k} \sqrt{\frac{n!}{m!}} \binom{n}{k} v^n [(1-v)\mu^*]^{m-n} \frac{L_{n-k}^{m-n} \left( \frac{-(1-v)^2 |\mu|^2}{v} \right)}{L_k(-(1-v)|\mu|^2)} \quad (2)$$

è possibile calcolare la probabilità di errore la probabilità di errore (DEP) nel caso di discriminatore ottimo (MDEP), grazie all'espressione (Helstrom Bound):

$$\hat{P}_e = \frac{1}{2} (1 - \|p_1 \Xi_1 - p_0 \Xi_0\|_1). \quad (3)$$

In figura 1 si può osservare l'effetto della photon addition per la MDEP in funzione del numero di fotoni nel sistema ( $n_p$ ), con  $\bar{n} = 10^{-2}$  e  $p_0 = p_1 = 1/2$ . (L'inversione della funzione che a  $\mu$  e  $k$  associa  $n_p$  è realizzata tramite un algoritmo di bisezione numerica con errore di approssimazione  $\delta = 10^{-6}$ ).

### 1.2 Valutazione dell'effetto del rumore termico

Nel caso di rumore termico nullo ( $\bar{n} = 0$ ), l'espressione per il calcolo della MDEP 3 diventa:

$$\hat{P}_e = \frac{1}{2} (1 - 4p_0 p_1 |\langle \psi_0 | \psi_1 \rangle|^2) \quad (4)$$

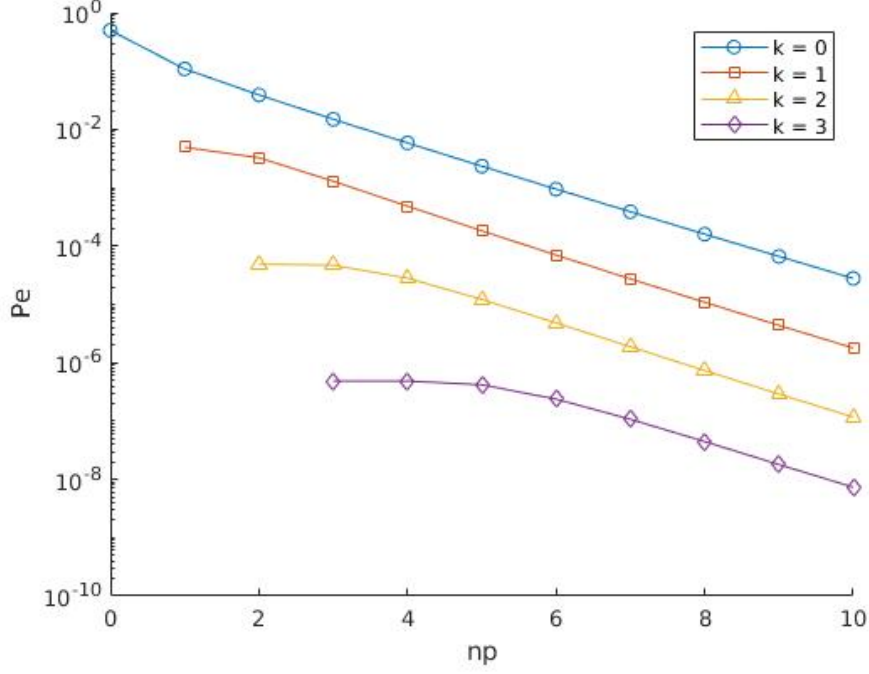


Figura 1: Performance of QSD between a noisy PACS and the thermal state as a function of  $np$ , with  $\bar{n}, p0 = p1 = 1/2$

con  $|\psi_0\rangle = |\xi^{(h)}\rangle$ ,  $|\psi_0\rangle = |\mu^{(h)}\rangle$  e il prodotto scalare dato in forma esplicita da:

$$\langle \xi^{(h)} | \mu^{(h)} \rangle = \frac{(\xi^*)^{k-h} L_h^{k-h}(-\mu \xi^*) e^{-1/2(|\mu|^2 + |\xi|^2 - 2\mu \xi^*)}}{\sqrt{\frac{k!}{h!} L_k(-|\mu|^2) L_h(-|\xi|^2)}} \quad (5)$$

È possibile individuare quindi, alcuni zeri della MDEP per  $\xi = 0$  e per  $L_h^{k-h}(-\mu \xi^*) = 0$ . In corrispondenza di quest'ultimi, si è studiato l'effetto del rumore termico.

Fissato  $k$ , si è studiato numericamente il valore degli zeri della MDEP in assenza di rumore 2. Per questi valori di  $\mu$  si è valutato l'effetto del rumore termico 3.

### 1.3 Valutazione di un sistema PACS BPSK

I risultati precedentemente visti si riferiscono ad un sistema in cui:

$$\Xi_0 = \Xi_{th}(0)$$

$$\Xi_1 = \Xi_{th}^{(k)}(\mu)$$

ovvero ad un sistema OOK quantistico con stati Photon Added.

Figura 2: MDEP without noise

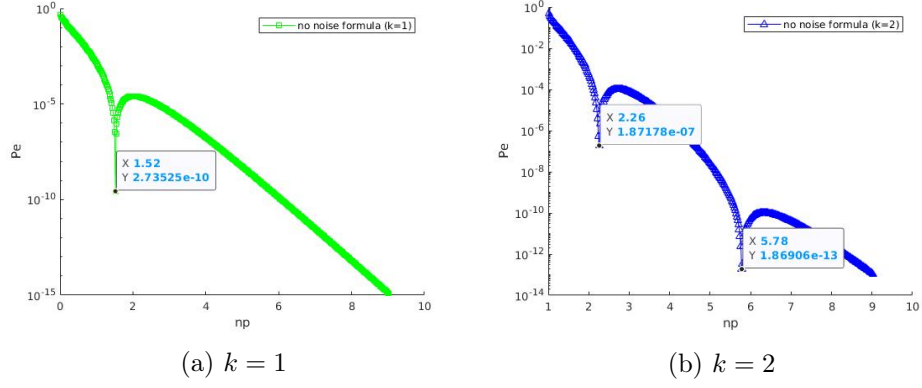
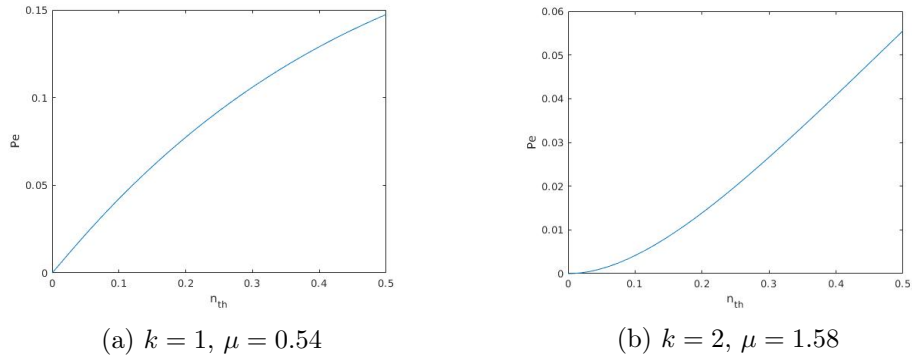


Figura 3: Effetto del rumore termico



Si è voluto testare le prestazioni di un sistema BPSK con stati Photon Added 4

$$\begin{aligned}\Xi_0 &= \Xi_{th}^{(k)}(-\mu) \\ \Xi_1 &= \Xi_{th}^{(k)}(\mu).\end{aligned}$$

## 2 Prestazioni Photon Added Squeezed States

Per ovviare ai limiti intrinseci nell'utilizzo di stati coerenti, si è pensato di utilizzare stati squeezed, ovvero definiti come:

$$\Xi_{th}(\mu, \zeta) = D(\mu)S(\zeta)\Xi_{th}S^\dagger(\zeta)D^\dagger(\mu)$$

con  $\zeta = re^{i\theta}$ . Si sono dunque valutate le prestazioni di sistemi di comunicazione basati su questa tipologia di stati quantistici.

Figura 4: Confronto tra sistemi BPSK e OOK, per  $k = 0, 1, 2, 3$

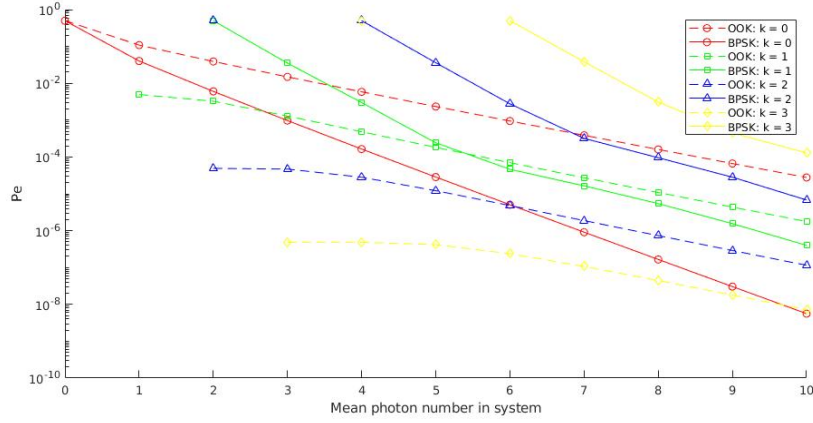
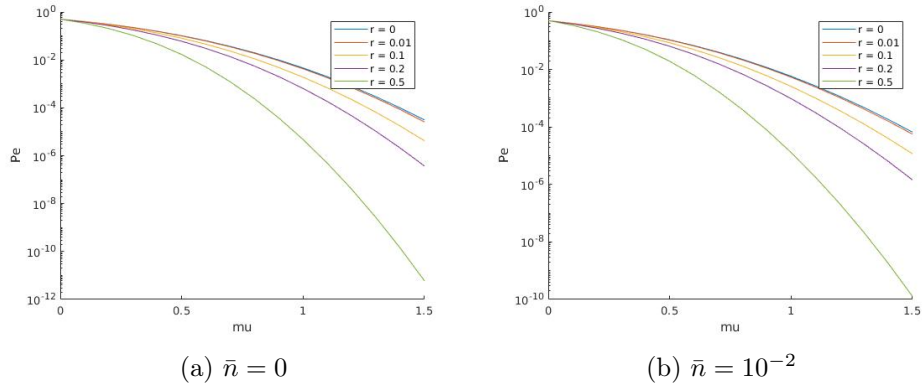


Figura 5: Squeezed BPSK,  $\theta = \pi$ ,  $p_0 = p_1 = \frac{1}{2}$



## 2.1 Sistemi noisy Squeezed States

In primo luogo si è voluto studiare l'effetto dello squeezing senza photon addition, al variare di  $r$ , fissato  $\theta = \pi$ .<sup>5</sup> Risulta evidente come, al variare di  $r$ , si ottenga un miglioramento delle prestazioni del sistema.

## 2.2 Sistemi noisy Photon Added Squeezed States

Figura 6: Confronto MDEP per BPSK PASS,  $\bar{n} = 10^{-2}$ ,  $p_0 = p_1 = \frac{1}{2}$

Si sono valutate dunque le prestazioni per sistemi photon added squeezed states.<sup>6</sup> La density matrix dello stato è ottenuta, a partire da quella per lo

stato non photon added, tramite:

$$\langle n | \Xi_{th}^{(k)}(\mu, \zeta) | m \rangle = \begin{cases} 0 & \text{se } n < k \vee m < k \\ \sqrt{\frac{n!m!}{(n-k)!(m-k)!}} \langle n-k | \Xi_{th}(\mu, \zeta) | m-k \rangle & \text{altrimenti} \end{cases} \quad (6)$$